

Լ. А. МОССИСЯН

К УСТОЙЧИВОСТИ ЦИЛИНДРИЧЕСКИХ ОБОЛОЧЕК С ЗАПОЛНИТЕЛЕМ ПРИ СИЛОВЫХ И ТЕМПЕРАТУРНЫХ ВОЗДЕЙСТВИЯХ

Устойчивость цилиндрических оболочек с упругим заполнителем достаточно хорошо изучена при силовых воздействиях, когда начальное напряженное состояние однородное, устойчивость же оболочек, находящихся в произвольном температурном поле и при произвольных нагрузках, исследована недостаточно полно.

Ниже рассматривается устойчивость свободно опертой цилиндрической оболочки с заполнителем, когда внешняя нагрузка и температура на внешней поверхности цилиндра меняются произвольным образом вдоль образующей.

Решение задачи состоит из трех этапов:

- определение температуры в оболочке и заполнителе;
- определение температурных напряжений в оболочке и заполнителе (решение уравнений невозмущенного состояния);
- определение критических параметров (решение уравнений устойчивости).

Каждый из этих этапов рассмотрим в отдельности.

1. Пусть имеется цилиндрическая оболочка радиуса R , толщины h и длины l , которая наполнена упругим материалом. Принимается, что материал заполнителя во много раз податливее материала оболочки. Для простоты принимается, что заполнитель — сплошной (не полый).

Как обычно, предположим, что температура по толщине оболочки меняется линейно

$$t = \frac{t_1 + t_2}{2} + z \frac{t_1 - t_2}{h} \quad (1.1)$$

где t_1 — заданная температура на внешней поверхности, а t_2 — искомая температура на внутренней поверхности (на контакте).

В заполнителе температура должна быть определена из уравнения теплопроводности [1]

$$\frac{\partial^2 t_0}{\partial r^2} + \frac{1}{r} \frac{\partial t_0}{\partial r} + \frac{\partial^2 t_0}{\partial x^2} = 0 \quad (1.2)$$

и из граничных условий

$$\begin{aligned} t_0 &= t^0(r) && \text{при } x = 0 \\ t_0 &= t^1(r) && \text{при } x = l \end{aligned} \quad (1.3)$$

Представим t_0 в виде ряда

$$t_0 = \sum_{k=1}^{\infty} C_k(r) \sin \lambda_k x, \quad C_k = \frac{2}{l} \int_0^l t_0 \sin \lambda_k x dx, \quad \lambda_k = \frac{k\pi}{l} \quad (1.4)$$

Умножая (1.2) на $\frac{2}{l} \sin \lambda_k x$ и интегрируя от 0 до l , при этом учитывая граничные условия (1.3), получим [2]

$$\frac{d^2 C_k}{dr^2} + \frac{1}{r} \frac{dC_k}{dr} - \lambda_k^2 C_k = \frac{2k\pi}{l^2} [(-1)^k t^1(r) - t^0(r)] \quad (1.5)$$

Решение (1.5) при условии конечности t_0 при $r=0$ имеет вид

$$C_k(r) = c_k I_0(\lambda_k r) + c_k^0(r) \quad (1.6)$$

где $c_k^0(r)$ — частное решение, соответствующее правой части (1.5).

Представим t_1 и t_2 в виде рядов

$$t_1 = \sum_{k=1}^{\infty} a_k \sin \lambda_k x, \quad t_2 = \sum_{k=1}^{\infty} b_k \sin \lambda_k x \quad (1.7)$$

Предполагая для определенности, что на поверхности контакта оболочки с заполнителем имеется идеальный тепловой контакт [1]

$$t = t_0; \quad t_2 = t_0 \\ K \frac{\partial t}{\partial z} = K_0 \frac{\partial t_0}{\partial r}; \quad K \frac{t_1 - t_2}{h} = K_0 \frac{\partial t_0}{\partial r} \quad \text{при } r = R \quad (1.8)$$

где K и K_0 — коэффициенты теплопроводности соответственно оболочки и заполнителя¹⁾, для неизвестных коэффициентов получим

$$c_k = \frac{a_k - c_k^0(R) - \frac{K_0}{K} h c_k^0(R)}{I_0(\lambda_k R) + \frac{K_0}{K} h \lambda_k I_1(\lambda_k R)} \\ b_k = c_k I_0(\lambda_k R) + c_k^0(R) \quad (1.9)$$

Здесь и в дальнейшем штрих означает дифференцирование по r .

Сходимость ряда (1.4) можно улучшить, выделив из него

$$\left(1 - \frac{x}{l}\right) t^0(r) + \frac{x}{l} t^1(r)$$

¹⁾ Здесь и в дальнейшем температурные и упругие характеристики оболочки обозначаются без индексов, а заполнителя — с нулевым индексом.

Таким образом, по (1.4), (1.6) и (1.7) определяются неизвестные температуры t_1 и t_0 .

2. Для определения докритических усилий в оболочке должны быть совместно решены уравнения равновесия оболочки и заполнителя.

Эти задачи также решаются весьма просто. В частности, необходимые нам перемещения и напряжения в заполнителе определяются формулами

$$U = \sum_{m=0}^{\infty} U_m \cos \lambda_m x, \quad W = \sum_{m=1}^{\infty} W_m \sin \lambda_m x \quad (2.1)$$

$$\sigma_r = \sum_{m=1}^{\infty} \sigma_m \sin \lambda_m x, \quad \tau = \sum_{m=0}^{\infty} \tau_m \cos \lambda_m x$$

$$U_m = \lambda_m \left[C_m^{(1)} I_0(\lambda_m r) + C_m^{(2)} \frac{r}{R} I_1(\lambda_m r) \right] + U_m^0(r)$$

$$W_m = \left\{ C_m^{(1)} I_0'(\lambda_m r) + C_m^{(2)} \left[\frac{r}{R} I_1'(\lambda_m r) - \frac{3-4\nu_0}{R} I_1(\lambda_m r) \right] \right\} + W_m^0(r)$$

$$\sigma_m = 2G_0 \left\{ C_m^{(1)} \left[\lambda_m^2 I_0(\lambda_m r) - \frac{1}{r} I_0'(\lambda_m r) \right] - \right.$$

$$\left. - \frac{3-2\nu_0}{R} \left[I_0(\lambda_m r) + \frac{1-2\nu_0-\lambda_m^2 r^2}{rR} I_1(\lambda_m r) \right] C_m^{(2)} \right\} +$$

$$+ 2G_0 \left\{ \frac{dU_m^0}{dr} + \frac{\nu_0}{1-2\nu_0} \left(\frac{dW_m^0}{dr} + \frac{W_m^0}{r} - \lambda_m U_m^0 \right) \right\} - 2G_0 \frac{\nu_1 + \nu_0}{1-2\nu_0} \sigma_0 C_m(r)$$

$$\tau_m = 2G_0 \lambda_m \left\{ C_m^{(1)} I_0'(\lambda_m r) + \left[\frac{r}{R} I_1'(\lambda_m r) - \frac{1-2\nu_0}{R} I_1(\lambda_m r) \right] C_m^{(2)} \right\} +$$

$$+ G_0 \left[\frac{dU_m^0}{dr} + \lambda_m W_m^0 \right]$$

в случае, когда на торцах отсутствуют радиальное перемещение и продольное напряжение.

Здесь U_m^0 и W_m^0 — частные решения, соответствующие заданной температуре.

Если искать решение уравнений оболочки

$$\begin{aligned} \frac{d^2 u_0}{dx^2} + \frac{\nu}{R} \frac{dw_0}{dx} &= \frac{1-\nu^2}{Eh} [X_2^0 - X_1^0] + \alpha(1+\nu) \frac{d\Theta_0}{dx} \\ \frac{h^2}{12} \frac{d^4 w_0}{dx^4} + \frac{w_0}{R^2} + \frac{\nu}{R} \frac{du_0}{dx} &= \frac{1-\nu^2}{Eh} [Z_1^0 - Z_2^0] + \\ + \frac{1}{R} \alpha(1+\nu) \Theta_0 - \frac{h^2}{12} \alpha(1+\nu) \frac{d^2 \Theta_1}{dx^2} \end{aligned} \quad (2.2)$$

где

$$\Theta_0 = \frac{t_1 + t_2}{2}, \quad \Theta_1 = \frac{t_1 - t_2}{h}$$

в виде рядов

$$u_0 = \sum_{m=0}^{\infty} A_m \cos \lambda_m x, \quad w_0 = \sum_{m=1}^{\infty} B_m \sin \lambda_m x \quad (2.3)$$

и при этом неизвестные контактные нагрузки от заполнителя на оболочку также представить в виде рядов

$$X_2^0 = \sum_{m=0}^{\infty} X_m \cos \lambda_m x, \quad Z_2^0 = \sum_{m=1}^{\infty} Z_m \sin \lambda_m x \quad (2.4)$$

то вместе с контактными условиями

$$\begin{aligned} u_0 &= U, & X_2^0 &= \text{?} \\ w_0 &= W, & Z_2^0 &= \varepsilon_r \end{aligned} \quad \text{при } r = R \quad (2.5)$$

получим шесть уравнений для определения шести неизвестных $C_m^{(1)}, C_m^{(2)}, A_m, B_m, X_m$ и Z_m (их выражения из-за громоздкости не записываются).

В конечном итоге необходимые для решения задачи устойчивости начальные усилия можно представить в виде рядов

$$T_1^0 = \frac{Eh}{1-\nu^2} \sum_{m=0}^{\infty} d_m \cos \lambda_m x, \quad T_2^0 = \frac{Eh}{1-\nu^2} \sum_{m=0}^{\infty} e_m \cos \lambda_m x \quad (2.6)$$

где в выражения d_m и e_m входят внешняя нагрузка и температура.

3. Уравнение устойчивости оболочки берем в виде [3]

$$\begin{aligned} \frac{\partial^2 u}{\partial x^2} + \frac{1-\nu}{2} \frac{\partial^2 u}{R^2 \partial \theta^2} + \frac{1+\nu}{2} \frac{\partial^2 v}{R \partial x \partial \theta} + \frac{\nu}{R} \frac{\partial w}{\partial x} &= 0 \\ \frac{1+\nu}{2} \frac{\partial^2 u}{R \partial x \partial \theta} + \frac{1-\nu}{2} \frac{\partial^2 v}{\partial x^2} + \frac{1}{R^2} \frac{\partial^2 v}{\partial \theta^2} + \frac{1}{R^2} \frac{\partial w}{\partial \theta} - \\ - \frac{h^2}{12R^2} \frac{\partial}{\partial \theta} \left(\frac{\partial^2 w}{\partial x^2} + \frac{1}{R^2} \frac{\partial^2 w}{\partial \theta^2} \right) &= 0 \\ \frac{\nu}{R} \frac{\partial u}{\partial x} + \frac{1}{R^2} \frac{\partial v}{\partial \theta} + \frac{h^2}{12} \nabla^4 w + \\ + \frac{1-\nu^2}{Eh} \left(T_1^0 \frac{\partial^2 w}{\partial x^2} + T_2^0 \frac{\partial^2 w}{R^2 \partial \theta^2} \right) + \frac{1-\nu^2}{Eh} Z &= 0 \end{aligned} \quad (3.1)$$

Как показано в многочисленных исследованиях (напр., в [4]), нагрузочные члены в первых двух уравнениях несущественно влияют на значения критических параметров, поэтому они пренебрежены.

По предположению на торцах оболочки имеются условия свободного опирания, следовательно, перемещения, удовлетворяющие этим условиям, будут иметь вид

$$\begin{aligned} u &= \cos n\theta \sum_{q=0}^{\infty} u_q \cos \lambda_q x \\ v &= \sin n\theta \sum_{q=1}^{\infty} v_q \sin \lambda_q x \\ w &= \cos n\theta \sum_{q=1}^{\infty} w_q \sin \lambda_q x \end{aligned} \quad (3.2)$$

Нормальное давление Z определяется из решения трехмерной задачи для заполнителя с учетом контактных условий с оболочкой $\tau_{r0} = \tau_{rz} = 0$, $w = W$; $z = Z$ для возмущенного состояния. Выражение для нормального давления можно представить в виде

$$Z = \cos n\theta \sum_{q=1}^{\infty} z_{qn} \sin \lambda_q x \quad (3.3)$$

Коэффициенты z_{qn} довольно громоздкие и сложные, но они сильно упрощаются, если воспользоваться их асимптотическим представлением для больших q и n [5, 6]

$$z_{qn} = \frac{G_0}{1 - \nu_0} \sqrt{\lambda_q^2 + \frac{n^2}{R^2}} \quad (3.4)$$

Как показано в [5, 6], такое приближение дает вполне приемлемые результаты.

Учитывая (3.2)–(3.4), для w_q получим следующую бесконечную систему [7]:

$$\begin{aligned} Q_{qn} w_q - \frac{1}{2} \left\{ \sum_{p=1}^q \left(i_p^2 e_{q-p} + \frac{n^2}{R^2} d_{q-p} \right) w_p + \right. \\ \left. + \sum_{p=q}^{\infty} \left(i_p^2 e_{p-q} + \frac{n^2}{R^2} d_{p-q} \right) w_p - \sum_{p=1}^{\infty} \left(i_p^2 e_{p+q} + \frac{n^2}{R^2} d_{p+q} \right) w_p \right\} = 0 \quad (3.5) \end{aligned}$$

где через Q_{qn} обозначено

$$Q_{qn} = \frac{h^2}{12} \left(\lambda_q^2 + \frac{n^2}{R^2} \right)^2 + \frac{(1 - \nu^2) \lambda_q^4}{R^2 \left(\lambda_q^2 + \frac{n^2}{R^2} \right)^2} + \frac{z_{qn} (1 - \nu^2)}{Eh} -$$

$$-\frac{h^2 n^2}{12 R^4} \frac{\frac{n^2}{R^2} + (2 + v) \lambda_q^2}{\lambda_q^2 + \frac{n^2}{R^2}} \quad (3.6)$$

Критические параметры (нагрузка и температура, при которой происходит потеря устойчивости) определяются из (3.5), как наименьшие собственные значения матрицы этой системы.

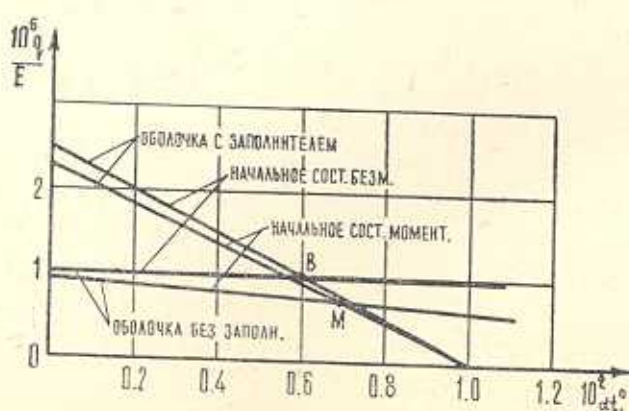
4. Рассмотрим два примера. В обоих примерах принято, как наиболее интересный случай [6], что нагревается только оболочка и что она теплоизолирована от заполнителя (получается как частный случай (1.8)— а именно: $t_1 = t_2, t_0 = 0$).

Пусть на оболочку действует внешнее синусоидальное давление и такая же температура на внешней поверхности

$$\begin{aligned} Z_1^0 &= q \sin \frac{\pi x}{l} \\ t_1 &= t_1^0 \sin \frac{\pi x}{l} \end{aligned} \quad (4.1)$$

Расчеты проводились для оболочки $R/h = 302.1$; $\pi R/l = 10$; $v = 0.3$; $v_0 = 0.5$; $E/E_0 = 10^4$ как с заполнителем, так и без заполнителя в предположении безмоментности и моментности начального напряженного состояния*).

Изменение критического давления в зависимости от температуры показано на фиг. 1.



Фиг. 1.

Как видно из фиг. 1, при отсутствии воздействия температуры расчет на устойчивость в предположении безмоментности начального состояния

*.) Были рассмотрены определители третьего и четвертого порядков. Результаты практически совпадают.

приводит к незначительным погрешностям в значении критического давления, независимо от того, есть или нет заполнитель. При наличии же температурного воздействия, если расчет оболочки без заполнителя должен был вестись, исходя из моментности начального состояния, то уже оболочку с заполнителем вполне можно рассчитывать, исходя из безмоментной теории.

Интересно отметить еще то, что существуют критические значения внешнего давления и температуры, которые одинаковы для оболочек без заполнителя и с заполнителем (точки B и M).

Теперь изучим случай, когда на поверхности оболочки заданы постоянное давление и постоянная температура. Тогда вместо бесконечной системы (3.5) получится одно уравнение, которое после упрощения [3] принимает вид

$$\frac{T_2^0}{Eh} = \frac{h^2 n^2}{12(1-\nu^2) R^2} + \frac{\pi^4 R^4}{l^4 n^6} + \frac{G_0}{E(1-\nu_0)} \frac{R}{h} \frac{1}{n}$$

$$T_2^0 \left[1 + \frac{E_0(1-\nu^2)}{E(1-\nu_0)} \frac{R}{h} \right] = Rq + \frac{E_0 R (1+\nu)}{1-\nu_0} \pi t_1^0 \quad (4.2)$$

Критические параметры и формы потери устойчивости определяются весьма просто.

Для параметров $\nu = 0.3$; $\nu_0 = 0.5$; $E = 10^4 E_0$ критические значения для выражений $10^5 q/E + 20 \pi t_1^0$ при различных R/h и R/l приведены в табл. 1.

Таблица 1

R/h	$\frac{q}{E} 10^5 + 20 \pi t_1^0$				
I/R	100	300	500		
1	0.9578	1.696	0.05936	0.4928	0.01642
1.5	0.6122	1.520	0.05651	0.4928	0.01104
2	0.4601	1.460	0.02945	0.4928	0.008227
2.5	0.3885	1.429	0.02369	0.4928	0.006592
3	0.3059	1.419	0.01737	0.4928	0.005634

В первых столбцах для каждого R/h помещены значения критического давления для оболочки без заполнителя ($E_0 = 0$).

Из таблицы видно, как при наличии заполнителя критические параметры очень быстро достигают своего асимптотического значения (оболочка «становится» длинной) и, во-вторых, чем длиннее оболочка, тем большее влияние оказывает температура.

Լ. Ա. ՄՈՎՍԻՍՅԱՆ

ՅՅՈՒԾՎ ԳԼՈՒԽՅԻ ԹԱՂԱՆԹԻ ԿԱՅՈՒԵՐՅԱՆ ՎԵՐԱԲԵՐՅԱԼ
ՈՒԺԱՅԻՆ ԵՎ ԶԵՐՄԱՅԻՆ ԱԶԳԵՑՈՒԹՅՈՒՆՆԵՐԻ ԴԵՊՔՈՒՄ

Ա. Ժ Փ Ո Փ Ո Ւ Ճ

Դիտարկվում է ազատ հենված լրիվ լցոնած դաշտային թաղանթի կայունությունը, երբ նրա արտաքին մակերեսովի վրա տրված են բեռ և չերմություն, որոնք կամայական ձևով են փոխվում ըստ թաղանթի ծնիշի: Զերմության բաշխումը, ինչպես և նախնական լարումները թաղանթում և լցոնած տրվում են շարժերի տեսքով: Լցոնի ազդեցությունը հաշվի է առնվում միայն որպես նորմալ ճնշում: Կրիտիկական պարամետրերի որոշումը բերված է անվիրջ մատրիցի ամենափոքրագույն սեփական արժեքի գոնելուն:

Դիտարկված են երկու օրինակներ:

THE STABILITY OF CYLINDRICAL SHELLS WITH AN
ELASTIC CORE UNDER TEMPERATURE AND
STRESS EFFECTS

L. A. MOVSISIAN

S u m m a r y

The stability of cylindrical shells with an elastic complete core is investigated, where axially symmetrical temperature and normal pressure on the external surface are given.

Two examples are presented.

Л И Т Е Р А Т У Р А

1. Боли Б., Уэйнер Дж. Теория температурных напряжений. Изд. «Мир», 1964.
2. Гринберг Г. А. Избранные вопросы математической теории электрических и магнитных явлений. М.—Л., Изд. АН СССР, 1948.
3. Вольмир А. С. Устойчивость деформируемых систем. М., «Наука», 1967.
4. Яо. Устойчивость длинных центрально сжатых цилиндрических оболочек с упругим подкрепляющим слоем. ПМ (Тр. американского общества инженеров-механиков), сер. E, 1962, т. 29, № 2.
5. Иванов В. А. К определению коэффициента «постели» в задачах устойчивости оболочки вращения с упругим заполнителем. ПМ, 1974, т. X, вып. 5.
6. Мовсисян Л. А. Устойчивость кольца с заполнителем при силовых и температурных воздействиях. Докл. АН АрмССР, 1976, т. 64, № 2.
7. Мовсисян Л. А. Устойчивость цилиндрических оболочек при быстрых нагружениях. Докл. АН АрмССР, 1972, т. 55, № 4.